

ارزیابی اثر نصب گوشه پاشنه بر کنترل ناپایداری و کاهش مقاومت یک شناور دوبدنی نیمه‌پروازی

مهندی یوسفی فرد^{۱*}، اشکان معبدی^۲

^۱ استادیار، دانشگاه صنعتی نوشیروانی بابل، دانشکده مهندسی مکانیک؛ yousefifard@nit.ac.ir

^۲ کارشناس ارشد مهندسی معماری کشتی، دانشگاه صنعتی نوشیروانی بابل، دانشکده مهندسی مکانیک؛ ashkan.maboodi@stu.nit.ac.ir

| اطلاعات مقاله | چکیده |
|---|--|
| <p>تاریخچه مقاله: تاریخ دریافت مقاله: ۱۳۹۸/۰۵/۰۳ تاریخ پذیرش مقاله: ۱۳۹۸/۰۹/۰۵</p> <p>کلمات کلیدی: شناور دوبدنی بدنه‌ی نیمه‌پروازی گوشه‌ی پاشنه نایپایداری دینامیکی</p> | <p>در این پژوهش تمرکز اصلی بر روی پایش نایپایداری‌های دینامیکی بوجود آمده در یک شناور دوبدنی نیمه‌پروازی و کاهش دامنه‌ی این حرکات با استفاده از گوشه‌ی پاشنه می‌باشد. این کار با استفاده از تحلیل مدل در اعداد فرود متفاوت در دو حالت بدنه‌ی اولیه و بدنه‌ی مجهز به گوشه انجام گرفته است. حل عددی نیز با استفاده از حل معادلات متغیر متوسطگیری شده‌ی ناویر-استوکس و کد متناوب این فرم ارائه شده است. علاوه بر صحبت‌سنگی روش حل عددی بر مبنای داده‌های تجربی می‌توان مشاهده نمود که نصب گوشه در پاشنه‌ی شناور اثر بسیار مثبتی در کاهش دامنه‌ی نایپایداری حرکات شناور در آب آرام داشته است. تأثیر این کاهش نایپایداری را می‌توان در نمودار مقاومت-سرعت شناور نیز مشاهده نمود. مهمترین دست‌آورد این تحقیق ایجاد یک تانک عددی معتبر برای شبیه‌سازی حرکات دینامیکی شناور و ثبت دقیق جزئیات جریان سیال در اطراف بدنه‌های پروازی و نیمه‌پروازی می‌باشد. حاصل نصب گوشه و تحلیل عددی و تجربی، ثبت کاهش ۱۲ درصدی در مقاومت شناور در سرعت طراحی آن می‌باشد.</p> |

Evaluation of the effect of stern wedge on instability control and reduction of the resistance of a semi-planing catamaran

Mahdi Yousefifard^{1*}, Ashkan Maboodi²

¹ Assistant Professor, Babol Noshirvani University of Technology; yousefifard@nit.ac.ir

² Master of Science, Babol Noshirvani University of Technology; ashkan.maboodi@stu.nit.ac.ir

ARTICLE INFO

Article History:

Received: 25 Jul. 2019

Accepted: 26 Nov. 2019

Keywords:

Catamaran

Semi-planing hull

Stern wedge

Hydrodynamics instability

ABSTRACT

In this research, the main focus is on monitoring the dynamic instability created in a semi-planing catamaran and reducing the amplitude of these movements using a stern wedge. This is done using the model analysis in different Froude numbers in both the original and modified body conditions. Numerical analysis is also provided by solving the Reynolds-averaged Navier-Stokes equations and OpenFOAM open-source code. In addition to verifying the numerical solution method based on experimental data, it can be seen that the installation of a stern wedge of the ship has a very positive effect on reducing the range of dynamic motions in calm water. The effect of this motion decrease can also be seen in the resistance-speed chart. The most important achievement of this research is the creation of a numerical tank for simulating dynamic motions and accurate recording of details of fluid flow around the planing and semi-planing hulls. The result of the stern wedge installation and numerical and experimental analysis is a 12 percent reduction in ship resistance at design speed.

۱ - مقدمه

تحقیق تجربی کاملی بر روی ابعاد اینترسیپتور نصب شده بر روی یک شناور تندرو بر عملکرد هیدرودینامیکی آن به روش عددی توسط منصوری و همکاران انجام شده است [۲]. آنها از یک تحلیل عددی مبتنی بر روش حجم محدود استفاده نموده و توانستند اثرات منفی طراحی ابعاد نامناسب اینترسیپتور بر افزایش مقاومت از یک سو و تأثیر مثبت در کاهش مقاومت و کنترل تریم شناور را از سوی دیگر ارائه نمایند. همچنین در تحقیق آنها، رابطه‌ی ریاضی بین عدد رینولز و ابعاد اینترسیپتور بدست آمده است. سانگ و همکاران اخیراً اثرات نصب اینترسیپتور و فلپ در پاشنه‌ی نوع خاصی از شناور را مورد ارزیابی قرار داده و حتی طرح‌های ترکیبی با استفاده از این دو نوع ابزار را نیز بررسی نمودند [۸]. آنها این بررسی را در بازه‌ای از اعداد فرود انجام داده و اثربخشی بیشتر نصب این ابزارها در محدوده‌ی خاصی از اعداد فرود را اثبات نمودند. اثر نصب اینترسیپتور در شناورهای تفریحی و کاهش نیروی درگ آنها نیز توسط دی و کوپر به روش آزمایشگاهی بررسی شده است [۹]. آنها تأثیر نصب اینترسیپتور را با فلپ‌هایی که بیرون از آب نصب می‌گردند مقایسه نمودند و توانستند با استفاده از نصب اینترسیپتور، در بازه‌ی مشخصی از سرعت، توان لازم برای شناور را کاهش دهند.

اخیراً پارک و همکاران با استفاده از روش آزمایشگاهی توانستند یک سامانه‌ی مجهر به اینترسیپتور متغیر را طراحی کنند تا بتواند در شرایط مختلف دریانوردی بهترین عملکرد را ارائه دهد [۱۰]. آنها آزمایش‌های خود را در آب آرام و همچنین در موج منظم و نامنظم انجام داده و مقدار تریم شناور در امواج را نیز تا حد زیادی کاهش داده و به تبع آن توانستند مقدار نیروی درگ کمتری را ثبت نمایند. منصوري و فرناندز نیز با به کارگیری روش عددی توانستند اثرات نصب اینترسیپتور بر کنترل ناپایداری حرکات جابجایی عمودی^{۱۱} و غلتش طولی^{۱۲} شناور پروازی را بررسی نمایند [۱۱].

آوکی و بارلاس تحقیق آزمایشگاهی برای ارزیابی اثرات نصب اینترسیپتور بر روی بدن‌های پروازی را ارائه نمودند [۱۲]. آنها اینترسیپتورهایی با ابعاد مختلف را در پاشنه‌ی یک بدن‌ی پروازی نصب نموده توانستند بهترین عملکرد را در حالتی که ارتفاع اینترسیپتور متغیر است بدست آورند. در تحقیقی دیگر، منصوري و فرناندز توانستند با استفاده از روش عددی و آزمایشگاهی اثرات نصب اینترسیپتور بر افزایش نیروی لیفت و درگ یک شناور تندرو را مورد ارزیابی قرار داده و ارتباط منطقی بین ابعاد و سرعت شناور و همپنین مشخصات اینترسیپتور ارائه نمایند [۱۳]. قدیمی و همکاران نیز اثرات نصب گوه در پاشنه‌ی یک شناور تندرو بر بهبود عملکرد هیدرودینامیکی آن در آب آرام را به روش آزمایشگاهی مورد ارزیابی قرار دادند [۱۴]. آنها با نصب گوه و ثبت اطلاعاتی نظیر مقاومت بدن و مقدار جابجایی عمودی و غلتش طولی توانستند ناپایداری هیدرودینامیکی بدن‌ی پروازی را حذف نمایند.

استفاده از ابزارهای نظیر گوه در پاشنه^۱، فلپ^۲ و یا اینترسیپتور^۳ برای بهبود رفتار دینامیکی بدن‌ی شناورهای پروازی^۴ و نیمه‌پروازی^۵ رایج است. ایجاد نیروی برآ در چنین بدن‌هایی منجر به کاهش سطح خیس و به تبع آن کمتر شدن مقاومت (بخصوص در سرعت‌های زیاد) می‌گردد. استفاده از گوه‌ی پاشنه نیز یکی از ابزارهای مؤثر در حوزه‌ی شناورهای نیمه‌پروازی می‌باشد که می‌تواند منجر به تغییر در توزیع فشار کف شناور و جلوگیری ناپایداری حرکات دینامیکی شناور گردد. در ادامه سعی شده است مهم‌ترین پژوهش‌های انجام گرفته در خصوص کنترل دینامیکی شناورها و کاهش مقاومت آنها را رائه گردد.

کارافیات در سال ۱۹۸۷ اثر نصب گوه‌ی پاشنه بر کاهش مصرف سوخت یک شناور نظامی از نوع فریگیت^۶ را با استفاده از روش تحلیلی بر اساس تاریخچه داده‌های چنین شناورهایی بررسی نمود [۱]. نتایج نشان می‌دهد نصب گوه در چنین شناورهایی می‌تواند تا ۶ درصد کاهش توان در سرعت پیشینه را به همراه داشته باشد. کار آنها یکی از اولین تحقیقاتی‌های انجام گرفته در این حوزه می‌باشد. بوجوویچ و ساهو اثرات نصب گوه بر عملکرد هیدرودینامیکی یک شناور جابجایی با سرعت بالا را ارزیابی نموده و توانستند با استفاده از چنین ابزاری توان مورد نیاز برای دستیابی به سرعت طراحی این شناور را کاهش دهند [۲].

اخیراً نیز جادمیکو و همکاران تحقیق کاملی را در خصوص اثرات نصب گوه و فلپ در پاشنه‌ی یک شناور تندرو تکبدنی بر روی مقاومت این شناور و مقایسه‌ی این دو مورد ارائه نمودند [۳]. آنها با استفاده از شبیه‌سازی به روش عددی توانستند ۳/۵ درصد مقاومت شناور را در سرعت طراحی و با استفاده از فلپ در پاشنه کاهش دهند. سالاس و تامپیر در سال ۲۰۱۳ با استفاده از روش آزمایشگاهی و عددی اثر سه تجهیز نصب شده بر روی بدن‌ی شناورهای جابجایی^۷ و نیمه‌ Jabjai^۸ بر روی کاهش مقاومت آنها را ارزیابی نمودند [۴]. آنها با نصب فلپ پاشنه و اینترسیپتور در شناور جابجایی و همچنین ایجاد اسپری‌ریل^۹ در شناور نیمه‌ Jabjai توانستند مقاومت آنها را در یک بازه‌ی ۵ تا ۱۰ درصدی کاهش دهند. اثرات نصب اینترسیپتور در پاشنه‌ی شناورهای تندرو برای بهبود عملکرد هیدرودینامیکی آنها در آب آرام توسط جانگام و همکاران مورد بررسی قرار گرفته و توزیع فشار ناشی از افزودن آن بر مبنای روش حل عددی ارائه شده است [۵]. جان و همکاران نیز با استفاده از روش آزمایشگاهی، اثر نصب گوه و فلپ در پاشنه و همچنین اینترسیپتور را بر عملکرد شناورهای تندرو تک و دوبدنی بررسی نمودند [۶]. هدف اصلی از انجام آزمایش آنها دستیابی به بهترین ابزار برای بهبود عملکرد هیدرودینامیکی یک شناور با در نظر گرفتن جنبه‌های اقتصادی تغییر فرم بدن بوده است.

در معادله‌ی (۳) منظور از U_r همان سرعت دامنه‌ی جریان است که اثرات سرعت در مرز مشترک آب و هوا را اعمال می‌نماید [۱۷]. از سوی دیگر، کشش سطحی در معادله‌ی (۴) بصورت $f_\sigma = \sigma \kappa \nabla \alpha$ تعریف می‌شود که در آن σ همان کشش سطحی آب (0.07 کیلوگرم بر مجدور ثانیه)، κ انحنای سطح آزاد سیال است که با استفاده از تعریف نسبت حجمی (α) قابل محاسبه می‌باشد. چگالی و ویسکوزیته‌ی دینامیکی ترکیبی نیز در این روش با استفاده از تعاریف زیر قابل محاسبه می‌باشد.

$$\begin{cases} \rho = \alpha \rho_l + (1-\alpha) \rho_g \\ \mu = \alpha \mu_l + (1-\alpha) \mu_g \end{cases} \quad (5)$$

علاوه بر معادلاتی که برای بقای جرم و مومنتوم ارائه شد و همچنین معادلات روش حجم سیال، نیاز است تا معادلات مربوط به انتقال نتش برشی^{۱۷} نیز بعنوان روش شبیه‌سازی جریان آشفته در نظر گرفته شود [۱۸].

همچنین، معادله‌ی تغییرات مرکز جرم شناور عبارت است از:

$$m \frac{dv}{dt} = f \quad (6)$$

که در آن m بیانگر جرم شناور، f نشان‌دهنده‌ی برآیند نیروهای وارد بر شناور و v نیز سرعت حرکت در مرکز جرم شناور می‌باشد. معادله‌ی حاکم بر حرکت زاویه‌ای نیز بر اساس دوران حول مرکز جرم شناور به شکل زیر نوشته می‌شود:

$$M \frac{d\omega}{dt} + \omega \times M \omega = n \quad (7)$$

در حالی که M تازه سور ممان اینترسی، ω سرعت زاویه‌ای جسم صلب و n نیز ممان تحریک اعمال شده بر شناور می‌باشد. نیروی اعمال شده در معادله‌ی (۶) و همچنین ممان تحریک اشاره شده در معادله‌ی (۷) با استفاده از حل عددی جریان سیال و بر مبنای توزیع فشار بر سطح زیر آب شناور در هر زمان بدست می‌آیند. جابجایی شناور در هر لحظه بر اساس سرعت و فشار اعمال شده از سوی سیال به بدن محسوبه می‌گردد.

۲- معرفی مسئله

شناور مورد بررسی در این پژوهش، یک شناور دوبدنی از نوع نیمه‌پروازی بوده که می‌بایست به سرعت ۲۳ گرهی دریایی (معادل عدد فرود ۱۸۰/۷۴۷) دست یابد. در شکل ۱ نمایی از فرم بدنی این شناور ارائه شده است.

همانطور که مشاهده می‌گردد، تمرکز بیشتری بر روی کنترل دینامیکی بدن‌های پروازی (بخصوص با استفاده از ابزارهای نظری اینترسپتور) وجود داشته و به کاهش مقاومت بدن‌های نیمه‌پروازی با استفاده از ابزارهای ساده‌تر نظریه‌گوی کمتر توجه شده است. به همین دلیل در این مطالعه کاهش حرکات و همچنین مقاومت یک شناور دوبدنی نیمه‌پروازی مورد ارزیابی قرار گرفته است.

۲- معادلات حاکم

حرکت سیال بو سیله‌ی حل معادلات متوسط‌گیری شده‌ی ناویر-استوکس^{۱۳} شبیه‌سازی می‌گردد. همچنین تکنیک حجم سیال^{۱۴} به همراه تراکم مصنوعی^{۱۵} برای تشخیص مرز آب و هوا در شبیه‌سازی جریان دوفازی مورد استفاده قرار گرفته است. جزئیات چگونگی اعمال این روش در نرمافزار اوپن‌فوم توسعه جاساک [۱۵] و همچنین روش [۱۶] ارائه شده و در اینجا بطور خلاصه مروای بر آنها مشاهده می‌گردد.

معادلات حرکت سیال دو فازی شامل معادلات بقای جرم و مومنتوم بوده که به شرح زیر نوشته می‌شوند:

$$\nabla \cdot U = 0 \quad (1)$$

$$\begin{aligned} \frac{\partial \rho U}{\partial t} + \nabla \cdot (\rho (U - U_g) U) = \\ - \nabla p_d - g \cdot \mathbf{x} \nabla \rho + \nabla \cdot (\mu_{eff} \nabla U) + \\ (\nabla U) \cdot \nabla \mu_{eff} + f_\sigma \end{aligned} \quad (2)$$

که در اینجا، U و U_g به ترتیب سرعت سیال و سرعت حرکت سلول‌های شبکه می‌باشند. همچنین p_d فشار دینامیک است که از رابطه‌ی $x \cdot p_d = p - \rho g$ بدست می‌آید (یعنی تفاضل فشار کل و فشار هیدرواستاتیک). شتاب گرانش نیز به صورت $g = (0, 0, -9.81)$ تعریف می‌گردد. ویسکوزیته‌ی دینامیکی مؤثر نیز برابر است با $\mu_{eff} = \rho (v + v_t)$ ، که در آن v و v_t به ترتیب معروف ویسکوزیته‌ی سینماتیک و گردابه‌ای^{۱۶} می‌باشند. f_σ هم ترم منبعی در اثر کشش سطحی است.

همانطور که اشاره شد، تکنیک حجم سیال برای ارائه‌ی تخمین دقیقی از سطح آزاد سیال مورد استفاده قرار می‌گیرد. معادله‌ی انتقال در این روش به شرح زیر تعریف می‌گردد:

$$\frac{\partial \alpha}{\partial t} + \nabla \cdot [(U - U_g) \alpha] + \nabla \cdot [U_r (1-\alpha) \alpha] = 0 \quad (3)$$

که در اینجا α بیانگر نسبت حجمی می‌باشد، که می‌توان بر اساس آن مشخصات سیال درون هر سلول را محاسبه نمود.

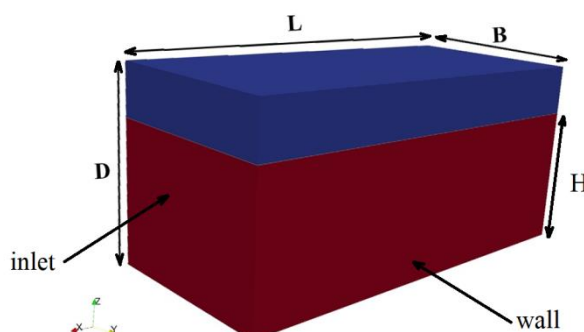
$$\begin{cases} \alpha = 0 & air \\ \alpha = 1 & water \\ 0 < \alpha < 1 & interface \end{cases} \quad (4)$$

| مشخصه | شناور اصلی | مدل |
|------------------------|------------|-------|
| عدد فرود در سرعت طراحی | ۰/۷۴۷ | ۰/۷۴۷ |

ابعاد تانک عددی نیز بر اساس پژوهش‌های مشابه توسط سایر محققین و همچنین شبیه‌سازی‌های عددی انجام گرفته توسط حلگر اینتردایم فوم^{۱۹} برای تحلیل دینامیکی شناورها به روش عددی انتخاب شده است. در شکل ۲ ابعاد تانک عددی و نوع شرایط مرزی اعمال شده در آنها ارائه شده است. ابعاد دامنهٔ حل عددی عبارت است از:

- طول دامنه (L): ۱۵ متر
- عرض دامنه (B): ۸ متر
- ارتفاع دامنه (D): ۷ متر
- عمق آب (H): ۵ متر

شرط مرز ورودی بر اساس سرعت شناور تعریف شده است. در خروجی نیز از شرط فشار جهت تعادل جریان سیال بهره گرفته شده است. همچنین جهت برسی کامل اثرات متقابل هر دو بدنه، شناور به صورت کامل شبیه‌سازی شده و در مرزهای اطراف تانک عددی از شرط عدم لغزش استفاده شده است. در نقاط منطبق بر بدنهٔ مدل نیز شرط عدم لغزش سیال اعمال شده است.



شکل ۲ - ابعاد دامنهٔ حل و نوع شرایط مرزی اعمال شده

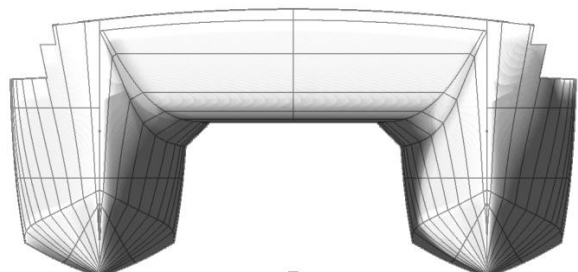
در جدول ۲ مشخصات فیزیکی سیال و در جدول ۳ تنظیمات حل عددی ارائه گردیده است.

جدول ۲- ثابت‌های مشخصات فیزیکی در حل عددی

| مشخصه | ثابت‌های فیزیکی | آب | سینماتیکی (v) | ویسکوزیته‌ی | چگالی | کشش | شتاب جاذبه [m/s ²] |
|--------|--------------------|--------------------|---------------|-------------|------------------|-----|--------------------------------|
| مقادیر | 1×10^{-6} | 1×10^{-6} | 998 | $0/07$ | $(0/00, 0/9/81)$ | | |



(الف)



(ب)

شکل ۱ - طرح شناور دوبدنی تحلیل شده در این پژوهش

در جدول ۱ نیز مشخصات شناور اصلی و مدل تجربی و عددی ارائه شده است. محدودیت در ساخت مدل چوبی با استفاده از دستگاه برش باعث شده است تا حداکثر طول خط آب معادل ۱/۶ متر برای ساخت مدل تجربی انتخاب شود. مدل عددی نیز به همین اندازه در نرم‌افزار راینو ساخته شده است.

جدول ۱- مشخصات شناور اصلی، مدل عددی و تجربی

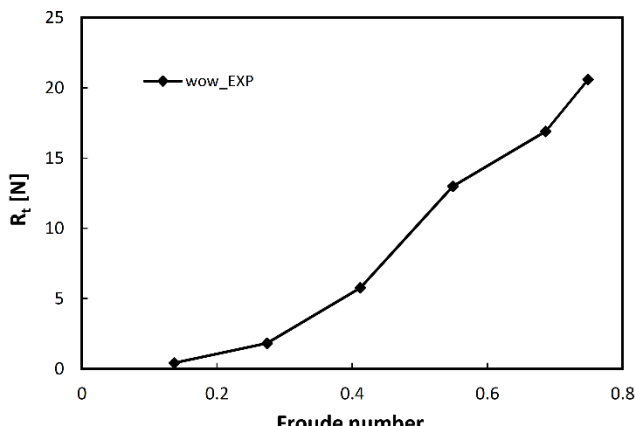
| مشخصه | شناور اصلی | مدل |
|----------------------------------|------------|-----------|
| مقیاس | ۱ | ۱ : ۱۵/۹۶ |
| آبخور در وسط شناور (متر) | ۱/۲۳۷ | ۰/۰۷۷۵ |
| آبخور در عمود سینه (متر) | ۱/۱۸۲ | ۰/۰۷۴ |
| آبخور در عمود پاشنه (متر) | ۱/۲۹۷ | ۰/۰۸۱ |
| آبخور در مرکز شناوری (COF) (متر) | ۱/۲۴۴ | ۰/۰۷۷۹ |
| تریم پاشنه (متر) | ۰/۰۱۹ | ۰/۰۰۶۸ |
| طول خط آبخور (متر) | ۲۵/۵۴۸ | ۱/۶ |
| بیشترین عرض (متر) | ۷/۹۷۹ | ۰/۴۹۹۹ |
| حداکثر عرض هر نیم بدنه (متر) | ۲/۴۸۷ | ۰/۱۵۵ |
| سطح خیس (متر مربع) | ۱۷۲/۱۷۷ | ۰/۶۷۶ |
| مساحت صفحه آبخور (متر مربع) | ۱۰۴/۵۹۵ | ۰/۴۱ |
| ضریب منشوری CP | ۰/۷۱۲ | ۰/۷۱۲ |
| ضریب ظرافت بدنه CB | ۰/۵۵۲ | ۰/۵۵۲ |
| ضریب صفحه‌ی آبخور Cwp | ۰/۰۸۶ | ۰/۰۸۶ |
| فاصله تا مرکز بیانسی LCB | ۱۱/۳۹۵ | ۰/۷۱۴ |
| فاصله تا مرکز شناوری LCF | ۱۱/۱۴۸ | ۰/۶۹۸ |
| سرعت طراحی (متر بر ثانیه) | ۱۱/۱۸۳ | ۲/۹۶ |
| جابجایی (تن) | ۸۶ | ۰/۰۲۱۱ |

۳- نتایج تحلیل تجربی

در این پژوهش از تحلیل آزمایشگاهی برای صحبت‌سنگی حل عددی که در ادامه ارائه خواهد شد استفاده می‌گردد. بر اساس مشخصات فیزیکی ارائه شده در جدول ۱ مدلی از جنس چوب ساخته شده و پس از تنظیم مقدار جرم و محل مرکز جرم، مقدار مقاومت حاصل از تست کشش در آب آرام برای مدل بدون گوشه اندازه گیری شده است. داده‌های ثبت شده در آزمایشگاه شامل مقدار نیروی اعمال شده در محل مرکز شناوری و همچنین نوسانات عمودی سینه و پاشنه می‌باشد.

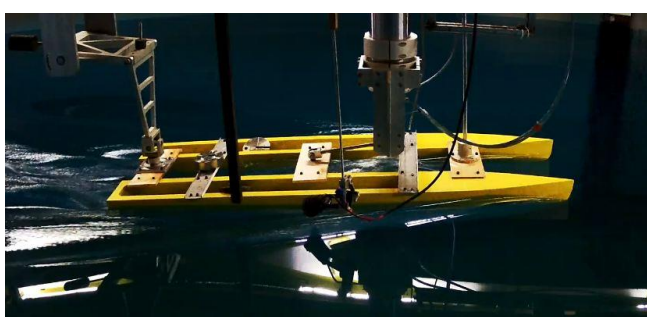
۳-۱- بررسی تجربی شناور بدون گووه

در شکل ۴ این داده‌ها در ۶ سرعت متفاوت ثبت شده و نمودار نیروی مقاومت بر حسب عدد فرود رسم گردیده است.



شکل ۴ - نیروی متوسط ثبت شده در آزمایشگاه در هر عدد فرود برای حالت بدون گووه

همانطور که در شکل ۴ مشاهده می‌گردد، شیب قابل توجه نمودار مقاومت بر حسب عدد فرود در اعداد فرود بیش از ۰/۷ کاملاً بر رفتار شناور در سرعت طراحی تأثیرگذار است. در شکل ۵ نیز نمایی از موج تولید شده در پاشنه شناور در سرعت طراحی و در مدل شناور دوینه در دو حالت با و بدون گووه ارائه شده است.

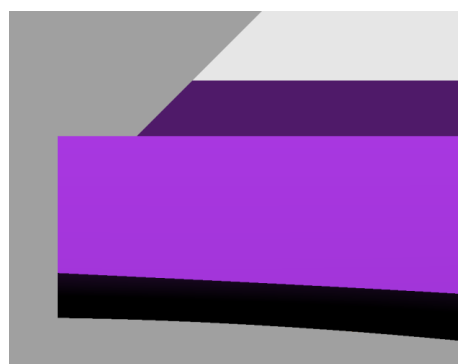


(الف)

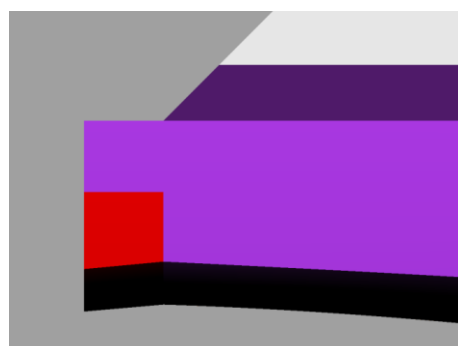
جدول ۳- مقادیر تنظیمات مورد استفاده در حلگر

| متغیر | مقادیر |
|--------------------------|--------|
| حداکثر عدد کورانت | ۰/۵ |
| گام زمانی اولیه (ثانیه) | ۰/۰۰۱ |
| فاکتور ضریب آرامش (فشار) | ۰/۴ |
| فاکتور ضریب آرامش (سرعت) | ۰/۸ |

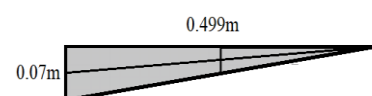
لازم به ذکر است که مقدار اولیه گام زمانی توسط کد عددی در هر تکرار به روز شده و مقدار آن با بیش از ۰/۰۰۵ ثانیه نیز رسیده است. بر همین اساس مقدار زمان متوسط برای انجام محاسبات هر تکرار نیز حدود ۳ ثانیه ثبت شده است و انجام محاسبات برای ۲۰ ثانیه حرکت شناور بیش از ۲۴ ساعت به طول انجامیده است. در شکل ۳ نیز نمایی از پاشنه شناور در دو حالت با و بدون گووه مشاهده می‌گردد. گووه طراحی شده برای این شناور (نمونه‌ی اصلی) نیز دارای ارتفاع ۷۰ میلیمتر و طول ۴۹۹ میلیمتر می‌باشد. مشخصه‌ی اصلی این گووه زاویه‌ی آن بوده که معادل ۸ درجه در نظر گرفته شده است.



(الف)



(ب)



(ج)

شکل ۳ - پروفیل پاشنه‌ی شناور بدون گووه (سمت چپ)، با گووه (سمت راست) و برش طولی گووه (پایین)

در جدول ۴ مقدار عدم قطعیت بدست آمده در هر عدد فرود بر اساس دستورالعمل اشاره شده ارائه گردیده است.

جدول ۴- بررسی عدم قطعیت تحلیل تجربی

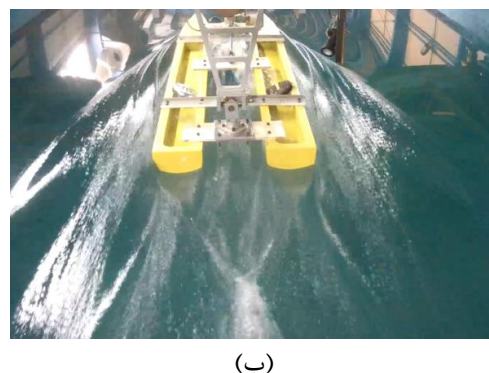
| عدد فرود | سرعت مدل (متر بر ثانیه) | عدم قطعیت (درصد) |
|----------|----------------------------|---------------------|
| ۰/۱۳۷ | ۰/۴۶ | ۰/۹۸ |
| ۰/۲۷۴ | ۰/۹۲ | ۰/۹۶ |
| ۰/۴۱۲ | ۱/۳۸ | ۰/۸۶ |
| ۰/۵۴۹ | ۱/۸۴ | ۰/۸۸ |
| ۰/۶۸۶ | ۲/۳۰ | ۰/۸۲ |
| ۰/۷۴۹ | ۲/۵۳ | ۰/۷۹ |

خطای ناشی از ساخت مدل توسط دستگاه برش سه‌بعدی با مقایسه‌ی حجم جابجایی مدل و مقدار اندازه‌گیری شده از مدل مقیاس اصلی در نرمافزار راینو محاسبه شده است. از خطای کالیبراسیون دینامومتر و تغییرات دمای آب حین آزمایش، با توجه به مستندات موجود صرفنظر شده است. بنابراین تنها نوسانات سرعت آزمایش در حین انجام آزمون کشش و همچنین تغییرات مقدار نیروی ناشی از تکرار آزمایش در نظر گرفته شده است. آزمایش کشش در سرعت طراحی ۵ مرتبه و در سایر سرعت‌ها سه مرتبه تکرار شده است و برای تعیین مقدار مقاومت از میانگین داده‌ها در این آزمایش‌ها استفاده شده است. مقدار بدست آمده برای عدم قطعیت نیروی مقاومت در سرعت طراحی کمتر ۰/۸ درصد بدست آمده است. البته این مقدار در سرعت‌های کم، اندکی بیشتر بوده، اما همچنان کمتر از یک درصد بدست آمده است. در جدول ۲ نتایج بررسی عدم قطعیت در اعداد فرود مختلف و برای مدل بدون گویه ارائه شده است.

۴- نتایج حل عددی

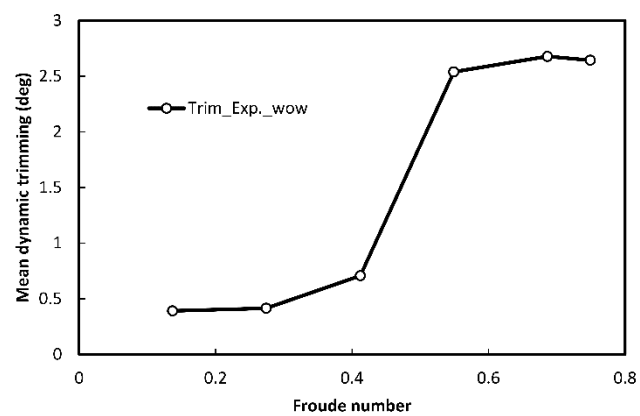
متغیرهای ثبت شده در حل عددی از تنوع بیشتری برخوردار است و می‌توان کانتورها و نمودارهای مورد نیاز را در مرحله‌ی پس‌پردازش بدست آورد. همانند تحلیل تجربی، در اینجا نیز اولین نمودار بدست آمده، مقدار نیرو بر حسب عدد فرود برای مدل عددی در دو حالت با و بدون گویه می‌باشد. با این کار می‌توان اثرات نصب گویه را بخصوص در سرعت طراحی این شناور مشاهده نمود.

در اینجا از تحلیل شش درجه آزادی استفاده شده است و به مدل اجازه داده شده است تا بر مبنای مشخصات فیزیکی خود و نیروی اعمال شده از سوی آب، حرکت کند. نیروی اعمال شده در راستای افقی و عمودی ثبت شده و همچنین مقدار جابجایی عمودی و غلتش طولی شناور با زمان نیز بررسی شده است.



شکل ۵ - آزمایش مدل شناور بدون گویه در سرعت طراحی

در شکل ۶ مقدار متوسط تریم ثبت شده برای مدل تجربی در هر سرعت نیز ارائه شده است. لازم به ذکر است که این مقدار بر حسب درجه و جهت مثبت آن در حالتی است که سینه‌ی شناور به سمت بالا حرکت کرده باشد. از طرفی مقدار آن بصورت متوسط تغییرات تریم دینامیکی شناور در هر سرعت ارائه شده است.



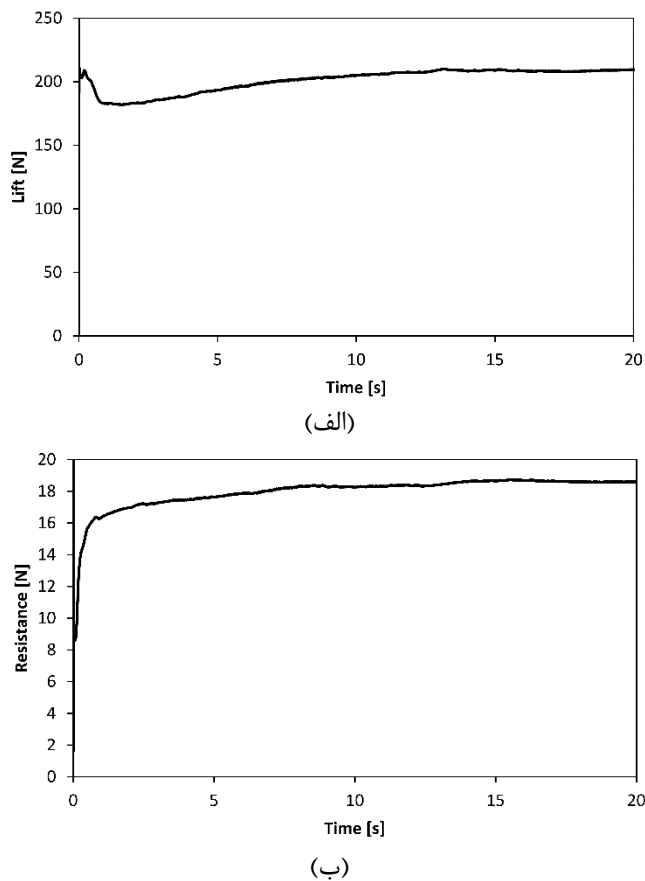
شکل ۶ - تریم ثبت شده شناور در حالت بدون گویه در سرعت‌های مختلف

افزایش شدید تریم شناور با افزایش سرعت منجر به ناپایداری دینامیکی شده که در بخش تحلیل عددی بیشتر به آن پرداخته می‌شود. تحلیل تجربی شناور بدون گویه برای استفاده در صحتسنجی نتایج حل عددی صورت گرفته و دوباره در بخش عددی به آنها پرداخته خواهد شد.

۳-۲- بررسی عدم قطعیت تحلیل تجربی
بر اساس دستورالعمل ارائه شده توسط کنفرانس بین‌المللی حوضچه‌ی کشن [۱۹] عدم قطعیت ناشی از تحلیل تجربی می‌تواند ناشی از موارد زیر باشد:

- ✓ هندسه‌ی مدل
- ✓ کالیبراسیون دینامومتر
- ✓ دمای آب
- ✓ سرعت کشش
- ✓ تکرار آزمایش

در شکل ۸ نمودار تغییرات نیروی برا و پسا برای مدل در سرعت طراحی ارائه شده است. مقاومت نهایی شناور بر اساس متوسطگیری داده‌ها در ۵ ثانیه‌ی انتهایی محاسبه گردیده است.



شکل ۸ - نیروی برا (الف) و مقاومت (ب) متوسط ثبت شده در حل عددی در سرعت طراحی

با توجه به وجود داده‌های آزمایشگاهی برای مدل بدون گوه، مقدار مقاومت در هر عدد فرود به نمونه‌ی اصلی تعیین داده شده و مقدار توان مؤثر بدست آمده برای هر عدد فرود حاصل از حل عددی و بررسی آزمایشگاهی با یکدیگر مقایسه شده و در شکل ۹ ارائه گردیده است. همانطور که در این شکل مشاهده می‌گردد، تطابق مناسبی بین نتایج تجربی و عددی وجود دارد. بخصوص با نزدیک شدن به نقطه‌ی طراحی، این تطابق افزایش می‌یابد. در شکل ۱۰ مقدار خطای محاسبه شده ارائه شده است. بیشترین خطای در عدد فرود ۴۱۲/۰ ثبت شده که کمتر از ۱۰ درصد می‌باشد. خطای حل عددی در نواحی اطراف سرعت طراحی کمتر از ۳ درصد بوده است.

همچنین برای حل عددی از یک رایانه مجهز به پردازنده Core i7-6700K با فرکانس مرجع ۴ گیگاهرتز و بهره‌گیری از ۶۴ گیگابایت حافظه استفاده شده است. برای اطمینان از پایداری نتایج، ۲۰ ثانیه از رفتار دینامیکی شناور شبیه‌سازی شده است. تولید شبکه با بیش از ۱ میلیون سلول برای شبیه‌سازی باعث شده است که زمان صرف شده برای هر تحلیل عددی بیش از ۲۴ ساعت باشد.

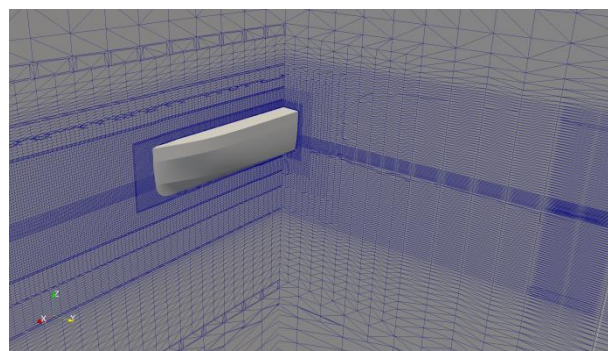
۱-۴- بررسی استقلال از شبکه

قبل از ارائه نتایج حل عددی، مشخصات شبکه‌ی مورد استفاده در این حل ارائه شده است. شبکه‌ی اولیه در اینجا یک مکعب بوده که ابعاد آن در بخش ۲ بر حسب ابعاد شناور ارائه شده است. در جدول ۳ مشخصات شبکه‌بندی دامنه‌ی حل ارائه شده است. مقادیر n , z و k به ترتیب تعداد سلول‌ها در راستای x , y و z در حالت اولیه می‌باشد. سپس با استفاده از شش مرحله بهبود، شبکه‌بندی ریزتر شده تا در نهایت، یک لایه شبکه‌ی بسیار ریز اطراف شناور را احاطه کند. پنج حالت مختلف شبکه‌بندی در نظر گرفته شده و اثرات ریز شدن سلول‌ها تا جایی که نتیجه‌ی حل عددی برای تخمین مقاومت در سرعت طراحی تغییر نکند ادامه داده شده است. مقدار مقاومت و درصد تغییر نسبت به شبکه‌ی بزرگ‌تر در جدول ۵ ارائه شده است. لازم به ذکر است که حالت D بعنوان شبکه‌بندی نهائی انتخاب شده است.

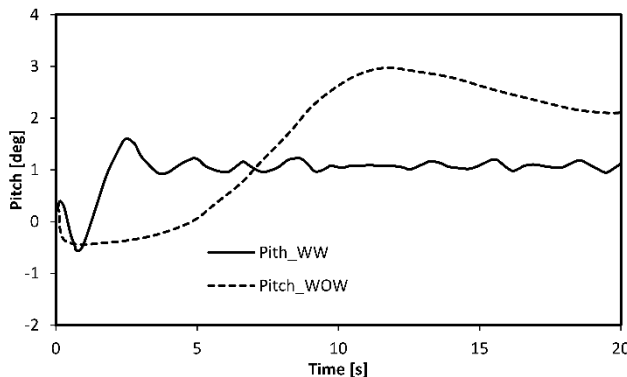
جدول ۵- بررسی تأثیر شبکه بر دقت حل عددی

| حل تجربی | درصد خطای حل عددی | مقدار |
|-----------|-------------------|----------------|
| i, j, k | تعداد سلول نهائی | مقاومت (نیوتن) |
| A | ۵۰-۲۲-۱۰۲ | ۲۵/۳۴ |
| B | ۵۴-۲۴-۱۰۸ | ۲۳/۶۰ |
| C | ۵۶-۲۶-۱۱۴ | ۲۲/۰۸ |
| D | ۶۰-۲۸-۱۲۲ | ۲۱/۱۲ |
| E | ۶۴-۳۰-۱۲۸ | ۲۱/۰۸ |

در شکل ۷ نیز نمایی از برش شبکه‌ی اطراف مدل شناور ارائه شده است.



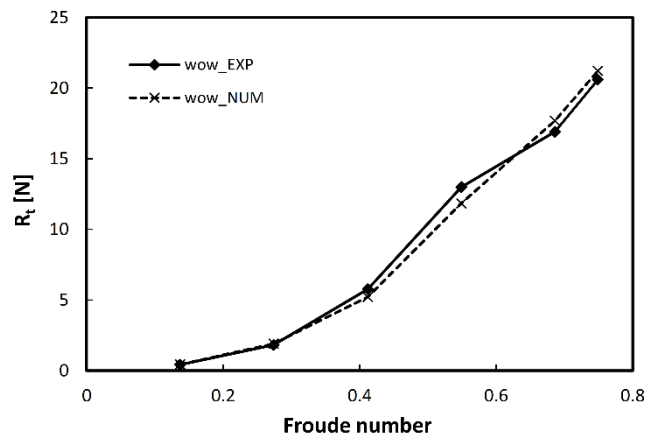
شکل ۷ - برش طولی و عرضی شبکه‌ی اطراف مدل عددی یکی از بدنه‌ها



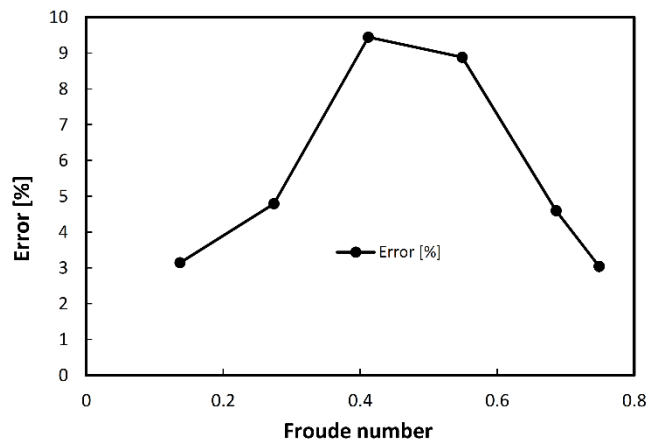
شکل ۱۲ - حرکت غلتش طولی شناور در دو حالت با و بدون گویه در سرعت طراحی

تغییرات محل مرکز جرم در راستای عمودی (جابجایی عمودی) نسبت به محل آن در حالت آب آرام و سرعت صفر اندازه‌گیری شده است. این حرکت در حالت بدون گویه دارای نوسان بسیار زیادی بوده و این نوسان در بازه‌ی زمانی بزرگی رخ می‌دهد. پس از نصب گویه، جابجایی عمودی به سرعت به حالت پایدار رسیده و تغییرات آن بسیار اندک می‌باشد. اما در خصوص غلتش طولی این موضوع کمی متفاوت است. یعنی نوسانات غلتش طولی همچنان مشاهده شده و ناپایداری دینامیکی در این حرکت کاملاً مشهود می‌باشد. در صورتی که با نصب گویه در پاشنه، زاویه‌ی تریم ثابت (با دامنه‌ی نوسانات ناچیز) و رو به پاشنه ایجاد شده است. همچنین مقدار تریم شناور با نصب گویه در پاشنه تا حد زیادی کاهش می‌یابد که این موضوع در ادامه مورد بررسی بیشتری قرار می‌گیرد.

در شکل ۱۰ نمودار مقاومت ثبت شده برای دو حالت با و بدون گویه در تحلیل عددی ارائه شده است. همانطور که مشاهده می‌گردد، افروزن گویه به پاشنه شناور باعث کاهش مقاومت از سرعت $2/3$ متر بر ثانیه به بعد شده است (معادل عدد فرود $686/0$). در این صورت می‌توان مطمئن بود که با استفاده از چنین ابزاری می‌توان عملکرد هیدرودینامیکی مناسبی را انتظار داشت، در صورتی که سرعت طراحی شناور در محدوده‌ی عدد فرود بیش از $0,7$ در نظر گرفته شود. (که در مورد این شناور کاملاً صادق می‌باشد).

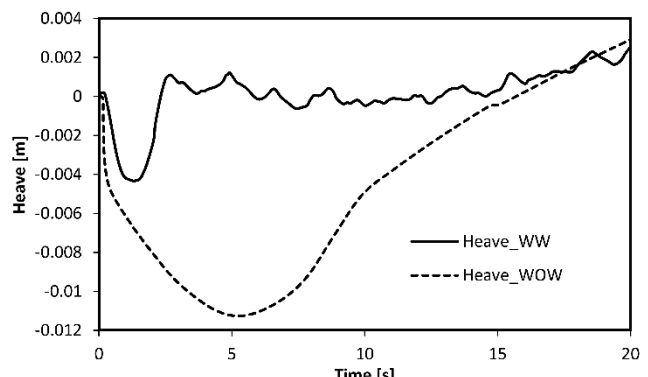


شکل ۹ - مقایسه‌ی مقاومت شناور اصلی بدون گویه ناشی از دو تحلیل تجربی و عددی

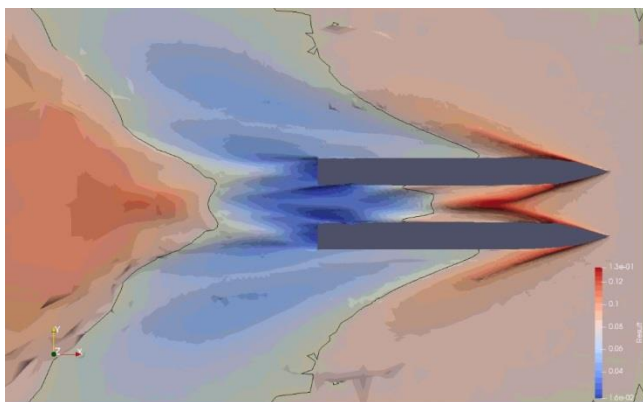


شکل ۱۰ - مقدار خطای ناشی مقایسه‌ی مقاومت شناور اصلی بدون گویه در دو تحلیل تجربی و عددی

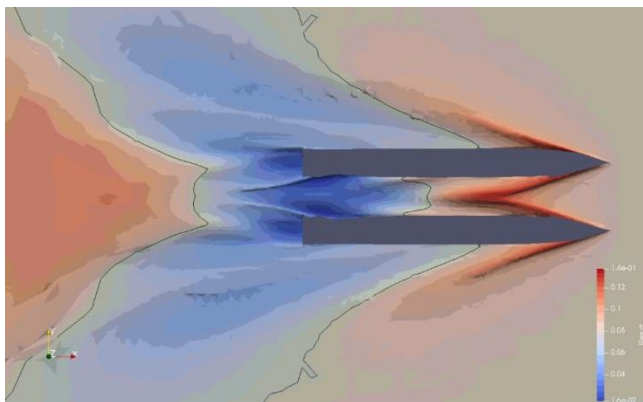
در شکل ۱۱ و ۱۲ نیز تغییرات ثبت شده برای دو حرکت جابجایی عمودی و غلتش طولی در یک بازه‌ی زمانی مشخص ارائه شده است.



شکل ۱۱ - حرکت جابجایی عمودی شناور در دو حالت با (WW) و بدون گویه (WOW) در سرعت طراحی



(الف)



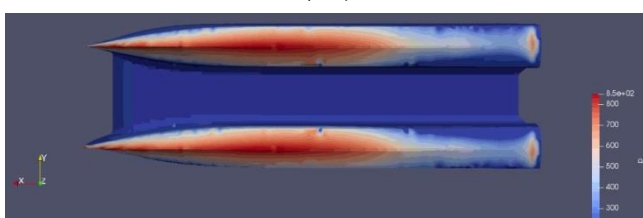
(ب)

شکل ۱۵ - کانتور سطح آزاد آب در حالت بدون گُوه (الف) و با گُوه (ب) در سرعت طراحی

در شکل ۱۵ بر شی در ارتفاع معادل سطح آرام آب (خط سیاهرنگ) ایجاد شده تا نقاط بالاتر (با رنگ قرمز) و پایین تر (با رنگ آبی) از آن قابل تشخیص باشد. نصب گُوه در پاشنه اثرات کمی بر جریان پشت پاشنه داشته و کاهش ارتفاع آب در این ناحیه مشاهده می گردد.

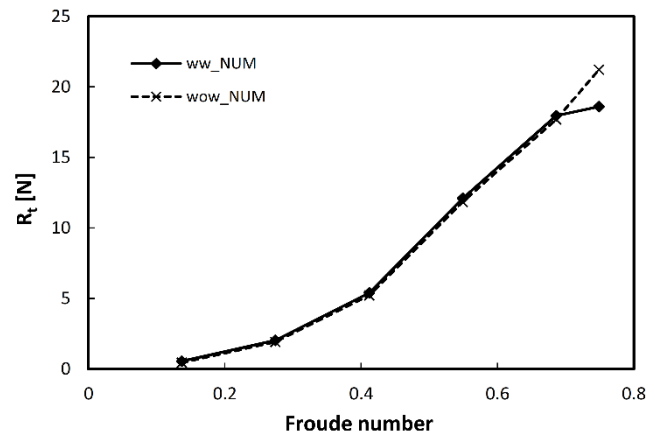


(الف)



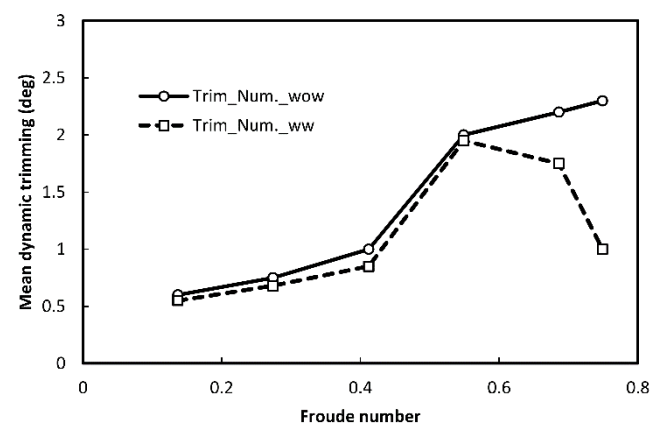
(ب)

شکل ۱۶ - توزیع فشار وارد بر کف شناور در حالت بدون گُوه (الف) و با گُوه (ب) در سرعت طراحی



شکل ۱۳ - نیروی متوسط ثبت شده در حل عددی در هر سرعت برای دو حالت با و بدون گُوه

همانطور که مشاهده می گردد، در سرعت $2/53$ متر بر ثانیه مقدار مقاومت مدل در حل عددی برای شناور با و بدون گُوه به ترتیب $18/6$ و $21/2$ نیوتن بدست آمدند است. در این سرعت، نصب گُوه توانسته است بیش از ۱۲ درصد نیروی مقاومت شناور را کاهش دهد. این مقدار در مقابل کاهش مصرف سوخت در طی مدت عملکرد این شناور کاملاً قابل توجه می باشد. البته ذکر این نکته ضروری است که نصب گُوه اثر مثبتی در کاهش مقاومت در سرعت های کم ندارد. کاهش مقاومت شناور در سرعت طراحی قابل توجه می باشد. این امر با در نظر گرفتن کاهش نوسانات دینامیکی شناور کاملاً قابل توجیه می باشد. در شکل ۱۴ نیز اثرات نصب گُوه بر تغییرات زاویه تریم شناور در هر سرعت ارائه شده است.



شکل ۱۴ - مقایسه اثر نصب گُوه بر تغییرات تریم دینامیکی متوسط شناور در هر سرعت

همانطور که مشاهده می گردد، نصب گُوه در پاشنه منجر به کاهش تریم دینامیکی متوسط شناور شده است. اما این کاهش از عدد فرود $0/6$ به بعد خودنمایی می کند. علت آن هم ایجاد نیروی برای مناسب در سرعت های بیشتر است. در ادامه کانتور سطح آزاد آب در سرعت طراحی (شکل ۱۵) و همچنین فشار وارد شده بر کف شناور (شکل ۱۶) در دو حالت با و بدون گُوه ارائه شده است.

سرعت‌های کم شده است، کنترل ناپایداری دینامیکی شناور در سرعت‌های زیاد منجر به کاهش مقاومت در سرعت طراحی گردیده است. بر اساس حل عددی معتبر، در این پژوهش اثرات نصب گُوه منجر به افزایش سرعت طراحی گردید و اختلاف ۱۲ درصدی برای مقاومت شناور در دو حالت با و بدون گُوه ثبت گردید. توزیع فشار در کف شناور ثبت شده و دامنه‌ی تغییرات ناپایداری‌های دینامیکی شناور مورد مقایسه قرار گرفته است. روش عددی حاضر که مبتنی بر حلگر اینتردایم فوم نرمافزار اوپن فوم می‌باشد نیز توانسته است به خوبی حرکات دینامیکی شناور را ثبت نموده و می‌توان از آن برای توسعه‌ی چنین روش‌هایی در شناورهای پروازی با سرعت‌هایی بسیار بیشتر نیز استفاده نمود.

۵ - تشکر و قدردانی

می‌باشد از همکاری دلسوزانه‌ی جناب آقای مهندس هاشمی ریاست محترم آزمایشگاه ملی دریایی شهدای خلیج فارس که امکان انجام آزمایش‌هایی با کیفیت بسیار زیاد را برای حمایت از این پژوهش فراهم آورده است.

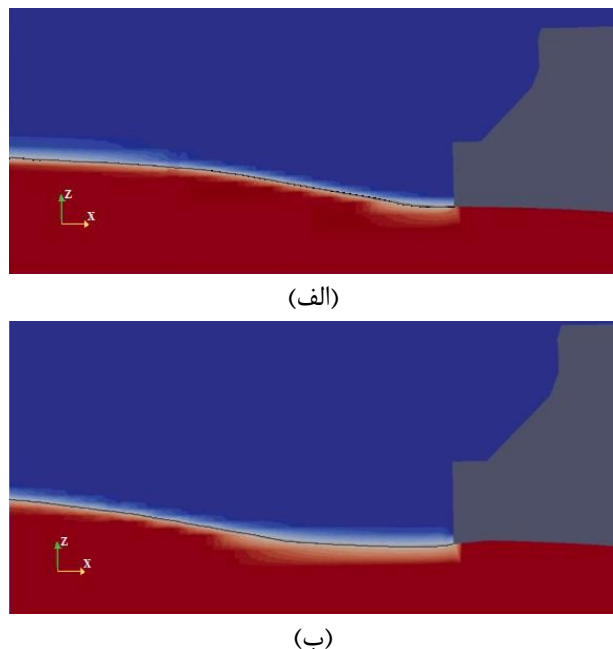
کلید واژگان

- 1- Stern wedge
- 2- Flap
- 3- Interceptor
- 4- Planing
- 5- Semi-planing
- 6- Lift
- 7- Frigate
- 8- Displacement
- 9- Semi-displacement
- 10- Sprayrail
- 11- Heave
- 12- Pitch
- 13- Reynolds-Average Navier-Stokes (RANS)
- 14- Volume Of Fluid (VOF)
- 15- Artificial compression
- 16- Eddy viscosity
- 17- Shear Stress Transport
- 18- Froude number
- 19- interDyMFoam

۶ - مراجع

- 1- Karafiath, G., Fisher, S.C., (1987), *The effect of stern wedges on ship powering performance*. Naval Engineering Journal, May, p.27-11.
- 2- Bojovic, P., Sahoo, P.K., (2004) *Effect of stern wedges and advanced spray rail system on calm water resistance of high-speed displacement hull forms*, Proceedings of Pacific 2004 International Maritime Conference; 2004 February 3-5; Sydney.
- 3- Jadmiko, E., Syarif, I., Arif, L., (2018), *Comparison of Stern Wedge and Stern Flap on Fast Monohull*

همچنین در شکل ۱۶ افزایش محسوس فشار در ناحیه‌ی اطراف گُوه مشاهده می‌گردد که دلیل اصلی آن نصب گُوه و ایجاد نیروی بُرا و به تبع آن تغییر پروفیل فشار در آن ناحیه می‌باشد. علاوه بر آن، در شکل ۱۷ برش طولی از خط مرکزی یک نیم‌بدنه ارائه شده و تغییرات سطح آزاد در آن ناحیه مشاهده می‌گردد. افزودن گُوه به ناحیه‌ی پاشنه شناور باعث کاهش ارتفاع پا شش آب در ناحیه‌ی پشت ترانزیوم شده است.



شکل ۱۷ - برش سطح آزاد آب در انتهای شناور در دو حالت بدون (الف) و با (ب) گُوه در سرعت طراحی

۵- بحث و نتیجه‌گیری

همانطور که مشاهده گردید، در اینجا از دو روش عددی و تجربی برای ارزیابی اثرات نصب گُوهی پاشنه در عملکرد هیدرودینامیکی شناور دوبدنی نیمه‌پروازی بهره گرفته شد. بدنه‌هایی از جنس چوب با مقیاس تقریبی یک به شانزده ساخته شده و در حوضچه‌ی آزمایشگاه ملی شهدای خلیج فارس در آب آرام و در سرعت‌های مختلف مورد بررسی قرار گرفته است. از سوی دیگر، مدلی با همان طول در یک تانک عددی که در نرمافزار متن‌باز اوپن فوم تولید شده است با استفاده از روش عددی به دقت تحلیل شده و نتایج آن با داده‌های آزمایشگاهی مقایسه گردیده است. مقدار مقاومت شناور اصلی در محدوده‌ای که نتایج آزمایشگاهی بدست آمده بود با داده‌های تجربی مقایسه شد و اختلاف اندکی بدست آمد. بر همین اساس اثر متغیرهایی نظیر مقدار مقاومت در هر سرعت، جایگاهی عمودی، غلتش طولی و سایر عوامل مؤثر در ناپایداری شناور در دو حالت با و بدون گُوه مورد ارزیابی قرار گرفته است. اثرات نصب گُوه در پاشنه‌ی چنین بدنه‌ای در سرعت طراحی کاملاً مشهود می‌باشد. هرچند نصب گُوه باعث افزایش ناچیز نیروی مقاومت شناور در

- 16- Rusche, H., (2002), *Computational Fluid Dynamics of Dispersed Two-phase Flows at High Phase Fractions*, Imperial College, London, UK (Ph.D.thesis).
- 17- Berberović, E., Van Hinsberg, N., Jakirlić, S., Roisman, I., Tropea, C., (2009), *Drop impact onto a liquid layer of finite thickness: dynamics of the cavity evolution*, Physical Review E, Vol.79(3), p.36306.
- 18- Menter, F.R., (2009), *Review of the shear-stress transport turbulence model experience from an industrial perspective*, International Journal of Computational Fluid Dynamics, Vol.23(4), p.305–12.
- 19- ITTC, Recommended Procedures. General Guideline for Uncertainty Analysis in Resistance Tests. 7.5-02-02-02, 2014.
- Vessel Resistance, International Journal of Marine Engineering Innovation and Research, Vol.3(2), p.41-9.
- 4- Salas, M., Tampier, G., (2013), *Assessment of appendage effect on forward resistance reduction*, Ship Science & Technology, Vol.7(13), p.37-9.
- 5- Jangam, S., Subramanian, V.A., Krishnankutty, P., (2019), *Computational Study on the Hydrodynamic Effects of Interceptors Fitted to Transom of Planing Vessel*, Proceedings of the Fourth International Conference in Ocean Engineering (ICOE2018), Lecture Notes in Civil Engineering 22; 2019 Jan 18; Singapore.
- 6- John, Sh., Khan, M.D.K., Praveen, P.C., Korulla, M., Panigrahi, P.K., (2011), *Hydrodynamic performance enhancement using stern wedges, stern flaps and interceptors for ships*, International Conference on Ship and Offshore Technology; 2011Dec 8-9; INDIA Kharagpur.
- 7- Mansoori, M., Fernandes, A.C., Ghassemi, H., (2017), *Interceptor design for optimum trim control and minimum resistance of planning boats*, Applied Ocean Research, Vol.69, p.100-6.
- 8- Song, K., Guo, Ch., Gong, J., Li, P., Wang, L., (2018), *Influence of interceptors, stern flaps, and their combinations on the hydrodynamic performance of a deep-vee ship*, Ocean Engineering, Vol.170, p.306-15.
- 9- Day, A.H., Cooper, Ch., (2011), *An experimental study of interceptors for drag reduction on high-performance sailing yachts*, Ocean Engineering, Vol.38, p.983-12.
- 10- Park, J.Y., Choi, H., Lee, J., Choi, H., Woo, J., Kim, S., et al., (2019), *An experimental study on vertical motion control of a high-speed planning vessel using a controllable interceptor in waves*, Ocean Engineering, Vol.173, p.841-10.
- 11- Mansoori, M., Fernandes, A.C., (2016), *The interceptor hydrodynamic analysis for controlling the porpoising instability in high speed*, Applied Ocean Research, Vol.57, p.40-12.
- 12- Avci, A.G., Barlas, B., (2019), *An experimental investigation of interceptors for a high speed hull*, International Journal of Naval Architecture and Ocean Engineering, Vol.11(1), p.256-18.
- 13- Mansoori, M., Fernandes, A.C., (2015), *Hydrodynamics of the interceptor on a 2-D flat plate by CFD and experiments*, Journal of Hydrodynamics, Vol.27(6), p.919-15.
- 14- Ghadimi, P., Sajedi, S.M., Tavakoli, S., (Articles in Press), *Experimental Study of the Wedge Effects on the Performance of a Hard-chine Planing Craft in Calm Water*, Scientia Iranica, DOI: 10.24200/sci.2018.20607.
- 15- Jasak, H., (1996), *Error Analysis and Estimation for the Finite Volume Method with Applications to Fluid Flows*, Imperial College, London, UK (Ph.D.thesis).